

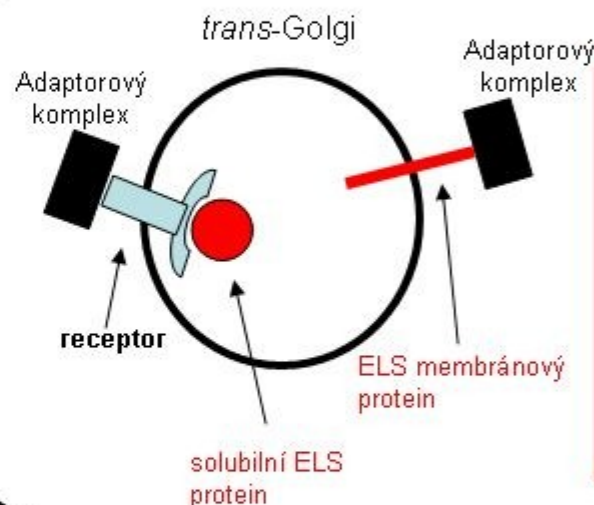
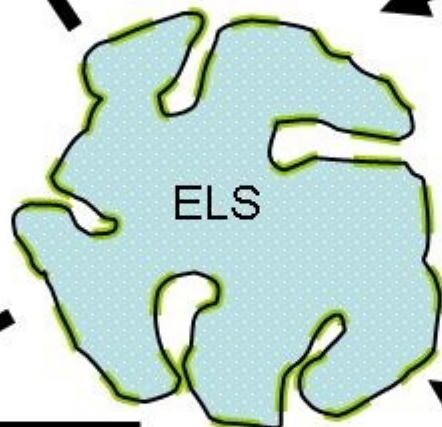
Recyklace z ELS

vesikulární
ELS transmembránová

Import ELS residentního proteomu z *trans*-Golgi

Luminální proteiny ve vazbě na
M-P-R (většina)
sortilin (prosaposin, *kyselá sfingomyelinasa*)
LIMP2 *β-glukocerebrosidasa*
ELS membránové proteiny

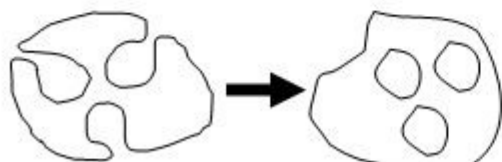
**Recyklace +
degradace ELS**



Biogenese

Degradace ELS

degradace lysosomálních membrán cestou invaginace, odškrcení a uvolnění do lumen
luminální enzymy jsou degradovány proteasami



Vstup substrátů do ELS

endocytosa
fagocytosa
autofagocytosa
přímý transmembránový import z cytosolu

Schéma 1: biogenese, recyklace a degradace ELS

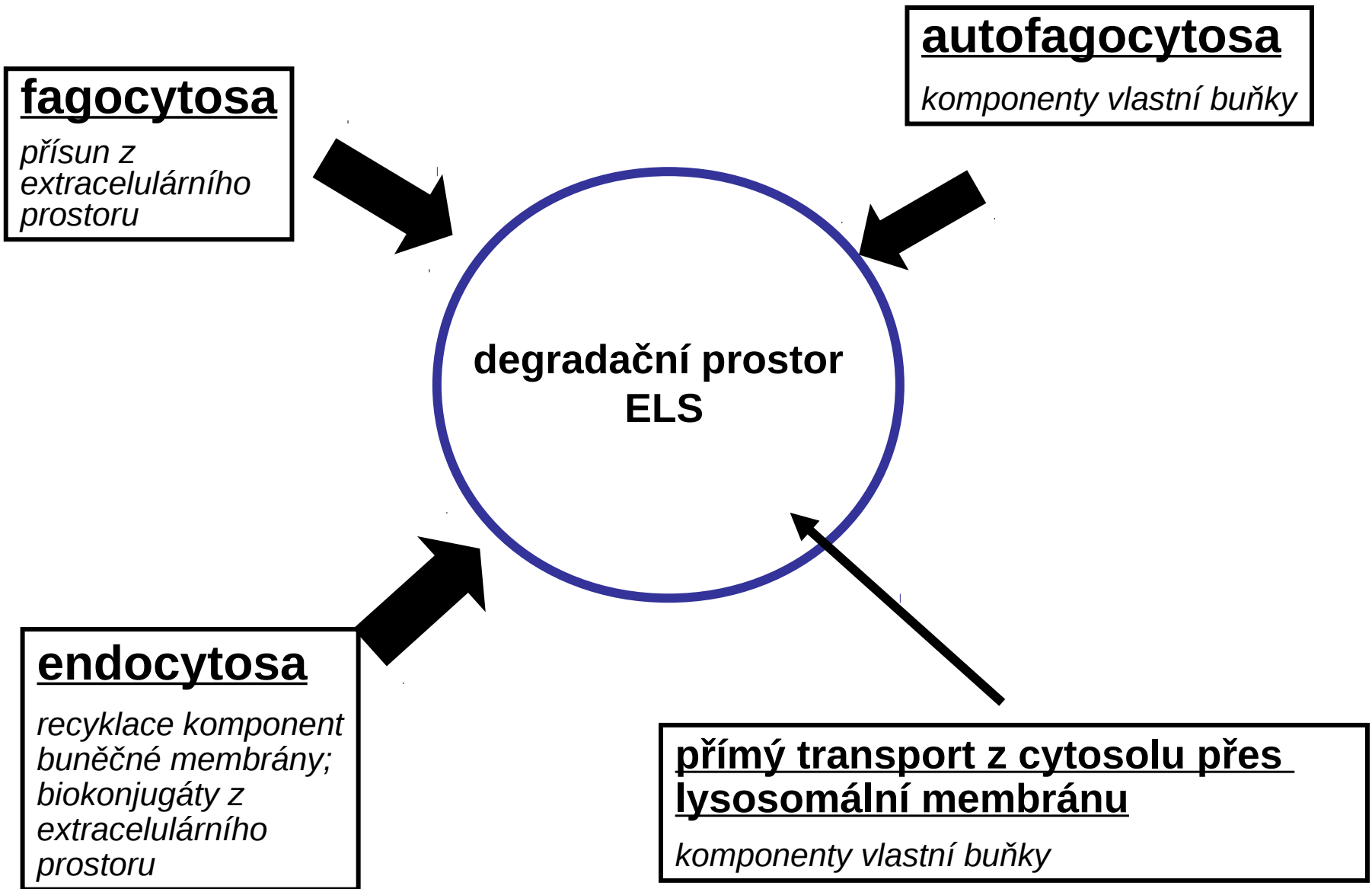


Schéma 2: Intralysosomální degradace biokonjugátů
(hlavní cesty vstupů substrátů do ELS)

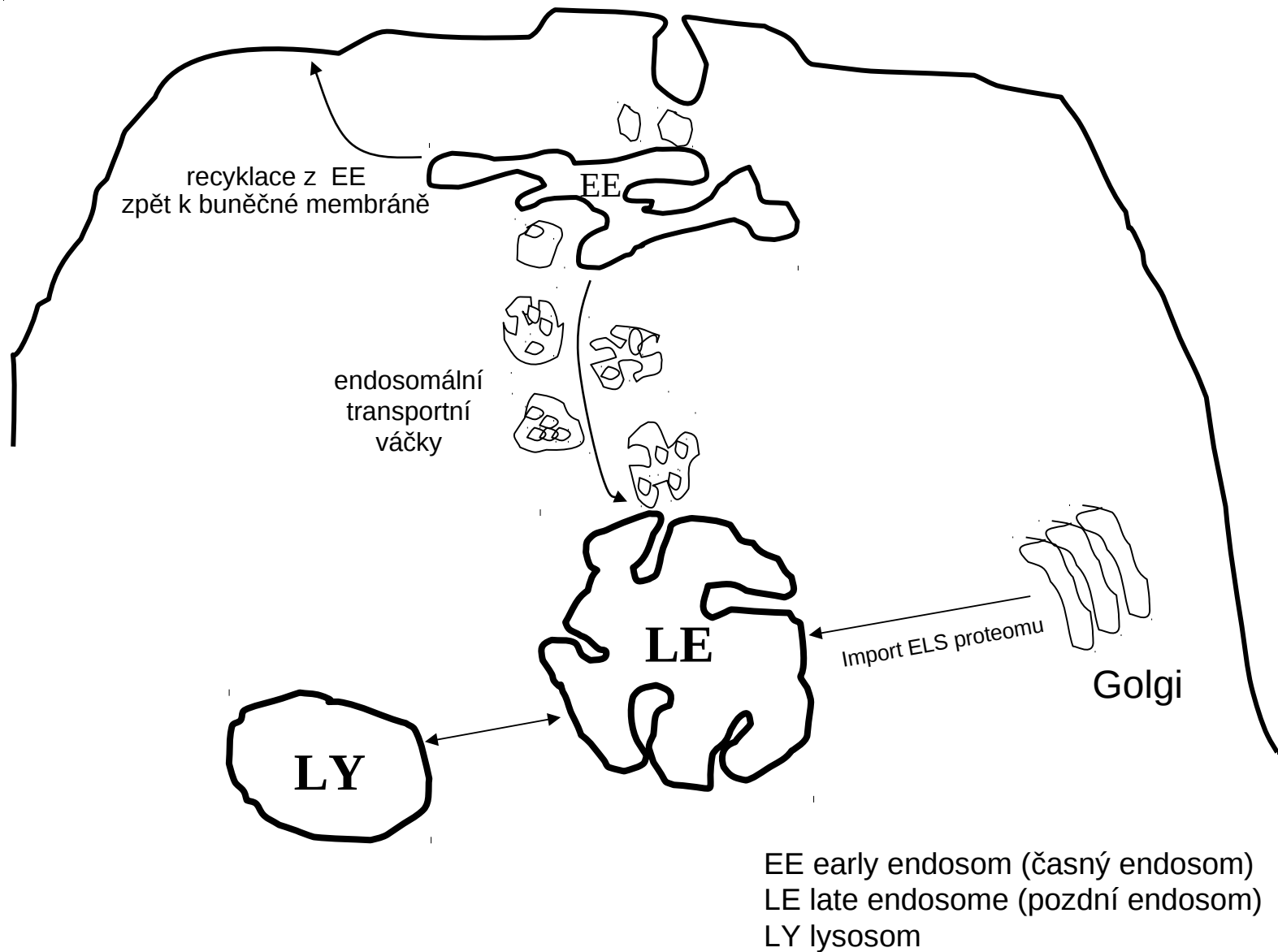


Schéma 3: Základní etáže endocytosy a ELS

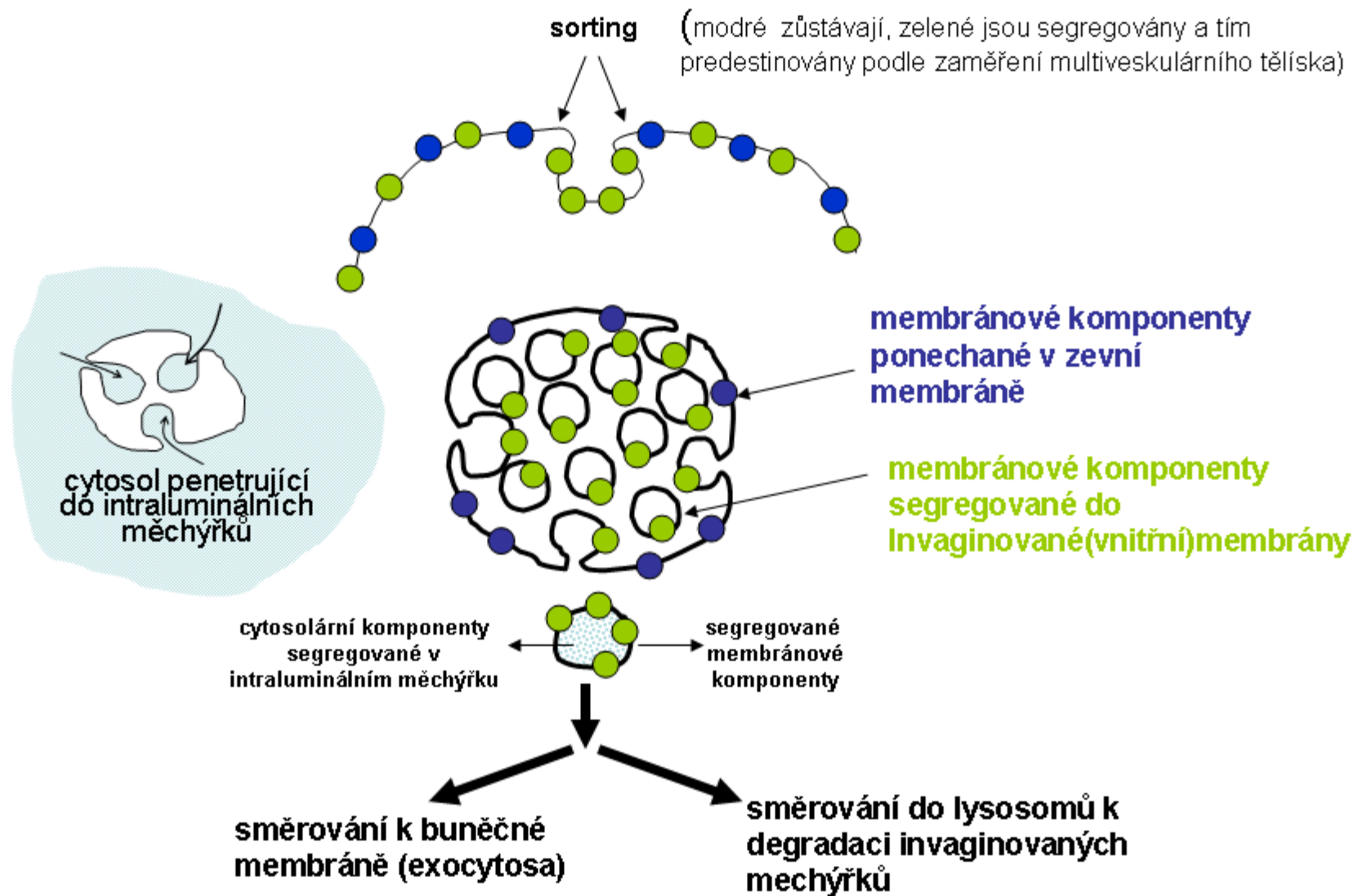
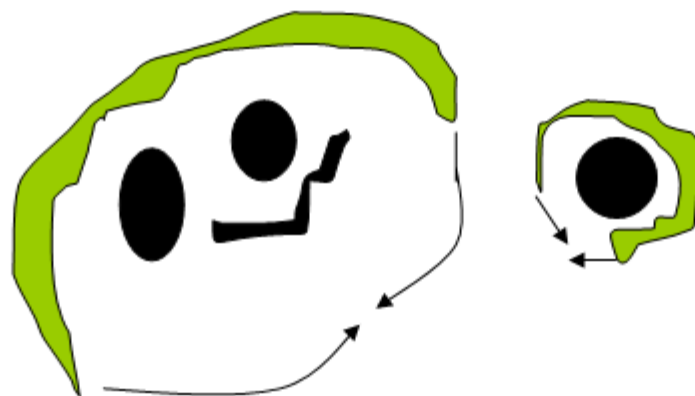


Schéma 4: Segregace specifických membránových komponent do intraluminálních invaginací

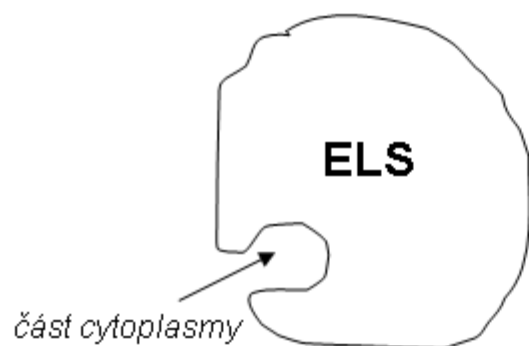
makroautofagocytosa

*proces degradace rozsáhlejších okrsků cytoplasmy
dvojitá limitující autofagosomální membrána*



mikroautofagocytosa

*přímá Invaginace lysosomální membrány
a intralysosomální degradace*



chaperony zprostředkovaná autofagocytosa

*přímý import specifických konformačně
nestabilních cytosolických proteinů do ELS*

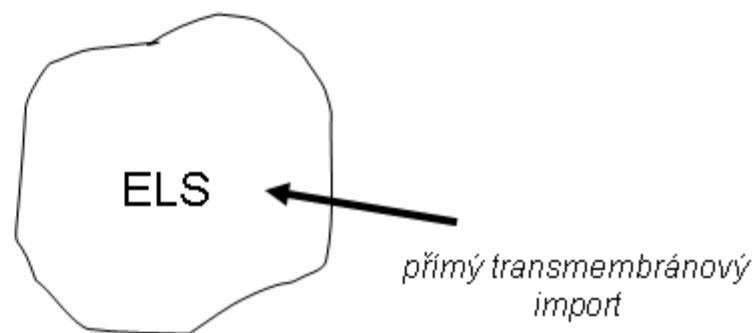


Schéma 5: Autofagocytosa - typy

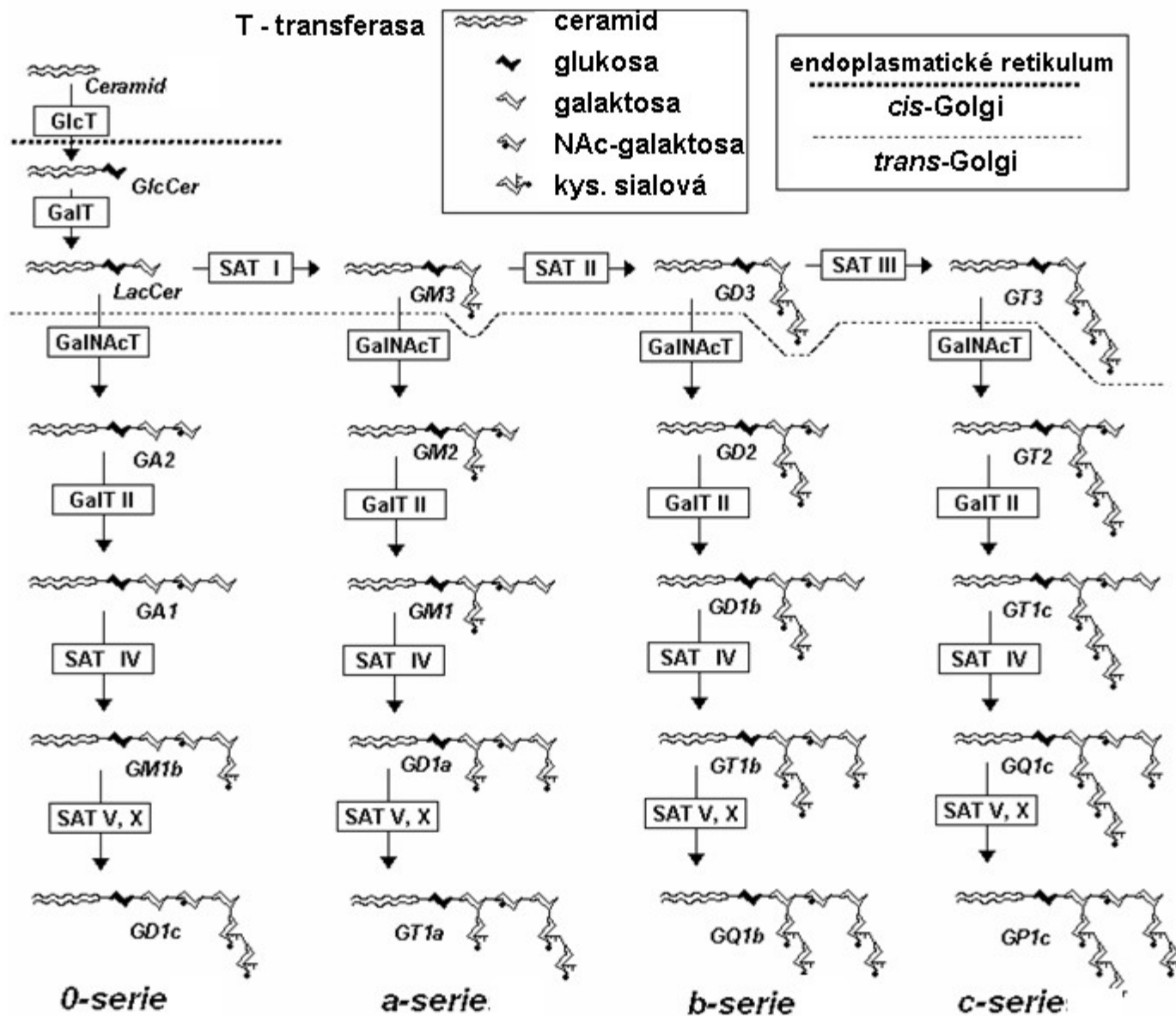


Schéma 6: Syntesa gangliosidů (publikováno s laskavým svolením autora - Ing. Filip Majer, Ph.D.)

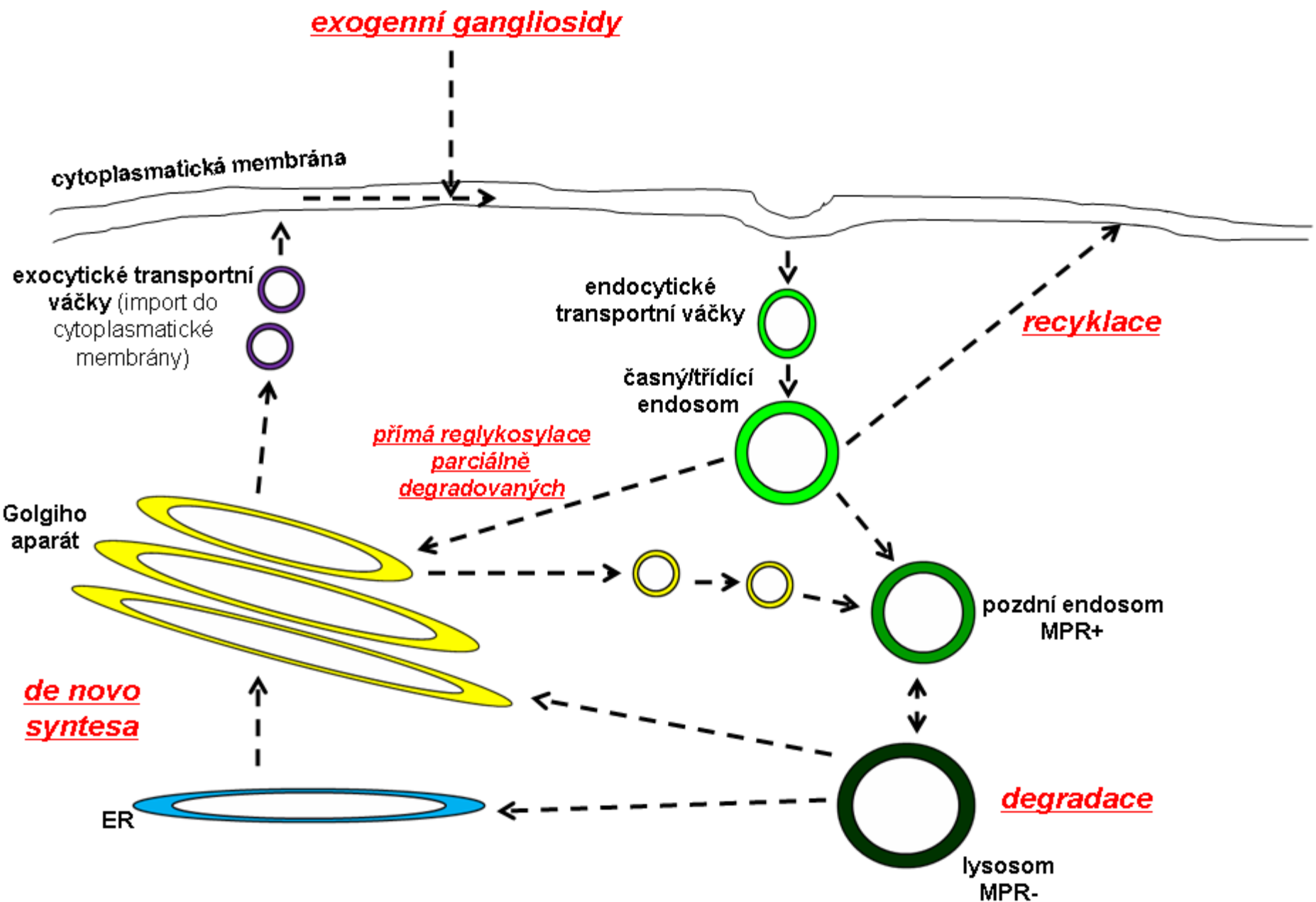


Schéma 7: Model intracelulárního třídění gangliosidů (modifikováno dle Tettamanti et al. 2003)

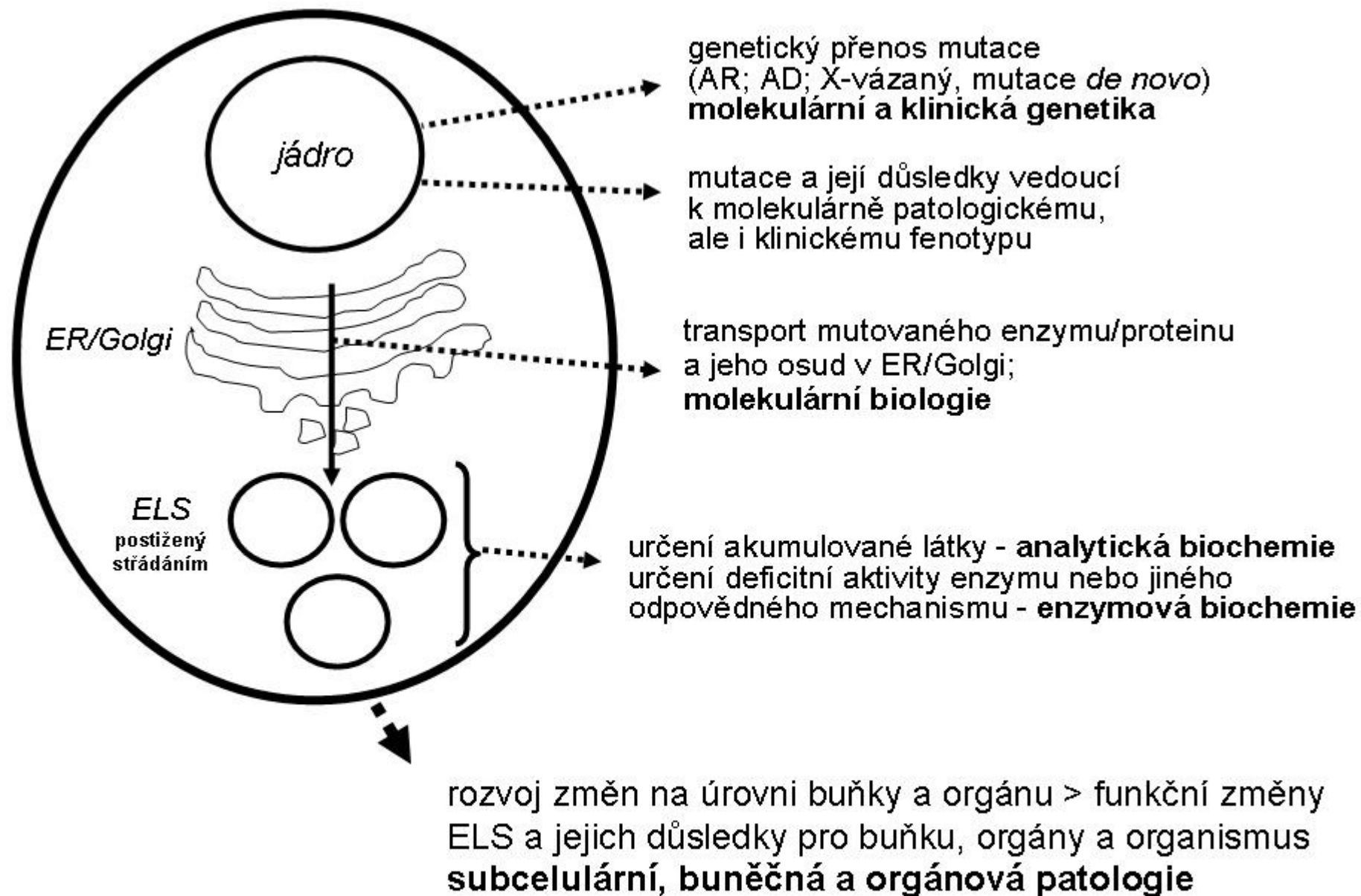


Schéma 8: lysosomální genetické poruchy – obory a úrovně v biomedicíně

SAP A - * SAP B - *
 SAP C - * SAP D - *

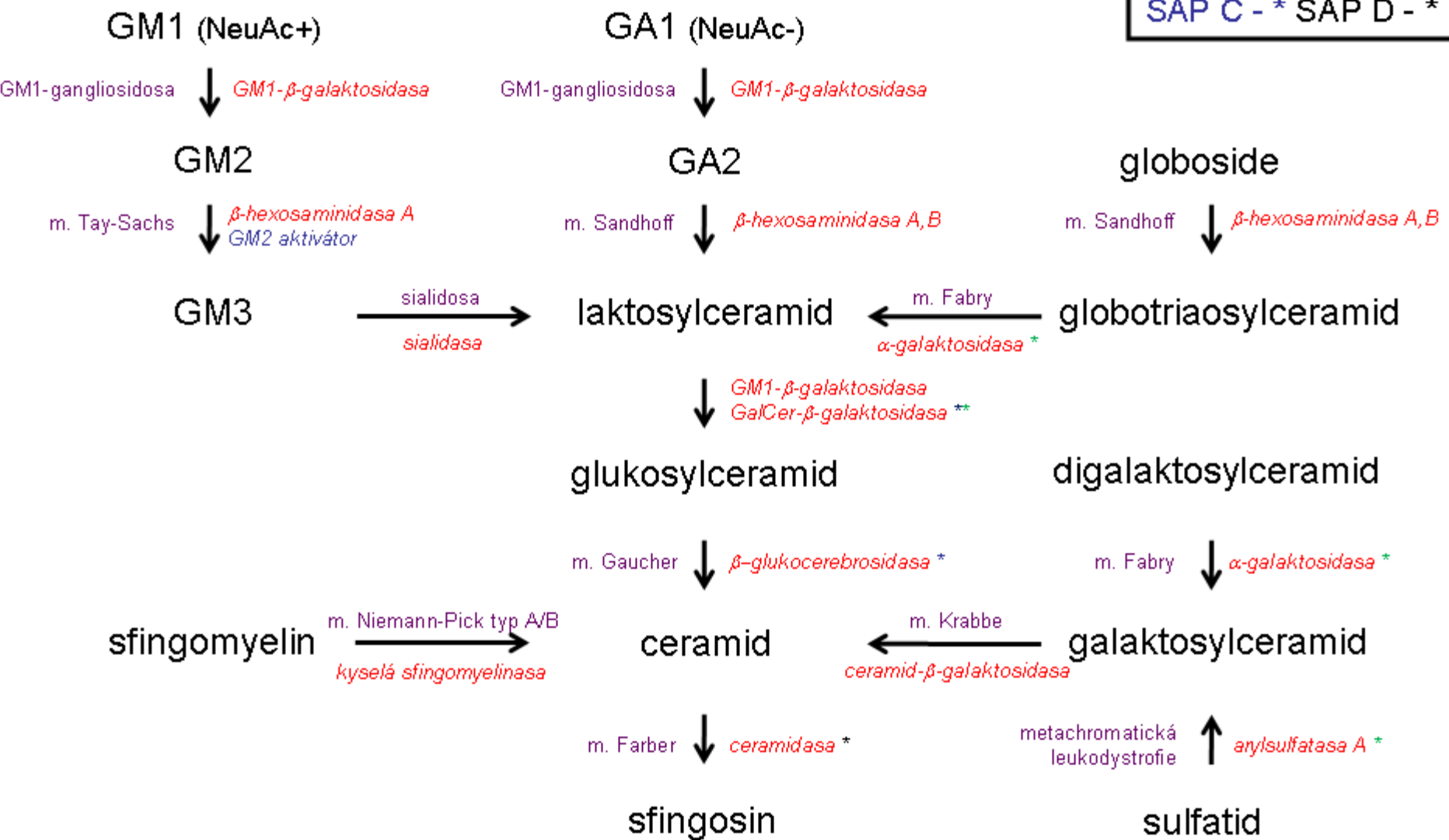


Schéma 9 – lipidosy

lysosomální enzymopatie – celkem 39 jednotek

30 enzymopatií (*mutace lysosomálních enzymů*)

1 deficit enzymatického stabilisátoru (*katepsinu A*)

5 deficitů aktivátorů (*ze 6ti možných*)

2 poruchy posttranslační modifikace lysosomálních enzymů

diagnosa je biochemická
(nutno charakterizovat mechanismus poruchy
enzymopatie vs. deficity stabilisátoru, aktivátoru, modifikací)

Schéma 10: přehled lysosomálních enzymopatií

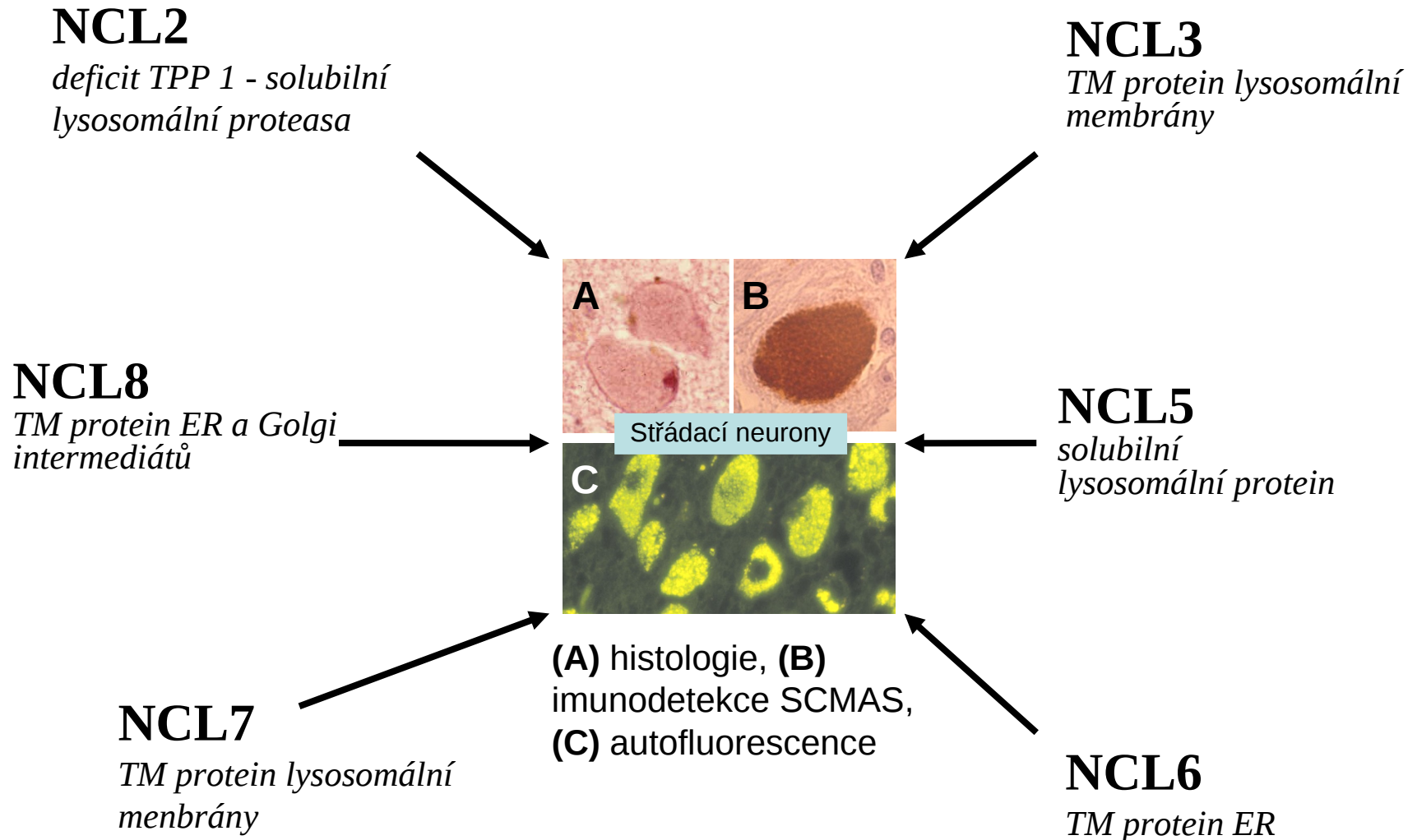


Schéma 11: Neuronální ceroidlipofuscinosy (NCL), u kterých dochází k lysosomální akumulaci podjednotky c mitochondriální ATP syntasy (SCMAS)

lysosomální střadací onemocnění na podkladě neenzymatického deficitu - celkem 13 jednotek

poruchy transportu (transportérů) přes lysosomální membránu
cystinosa
střádání sialové kyseliny

defekty jiných lysosomálních membránových proteinů
LAMP2, LIMP2
NCL3, NCL5, NCL6, NCL7, NCL 8,
mukolipinu (ML IV),
NPC1, NPC2
CLC7/Ostm1

diagnosa je stanovena na úrovni DNA
enzymové aktivity lysosomálních enzymů jsou
v normálních mezích nebo zvýšené

Schéma 12: přehled neenzymatických lysosomálních stř. onemocnění

**lysosomální degradace myelinu začíná
v pokročilejším stadiu myelinisace**



smrt oligodendroglie přichází hned v počátku nemoci (na rozdíl od metachromatické leukodystrofie) předpokládá se účinek lysoderivátu galaktosylsfinhosinu (vzniká zřejmě synteticky nikoliv v lysosomech)



mikroglie fagocytuje nekrotickou oligodendroglie (i s myelinem)



**v lysosomech makrofágů je vše degradováno až na galaktocerebrosid
(chybí ceramid- β -galaktosidasa) – lysosomální stádání v makrofázích -
Krabbeho buňky**



důsledkem je demyelinisace

střádací makrofágy postupně přechází do cév a z mozku mizí;
ve výjimečných případech resultuje zbývá astroglia CNS
(jiné buňky v CNS nestřádají)

Pozn. - mírný stupeň stádání (např. Schwannovy buňky) nemusí vést k buněčné degeneraci

Schéma 13: Krabbeho nemoc - sled změn vedoucích k leukodystrofií

blok v degradaci sulfatidu – deficit *arylsulfatasy A*

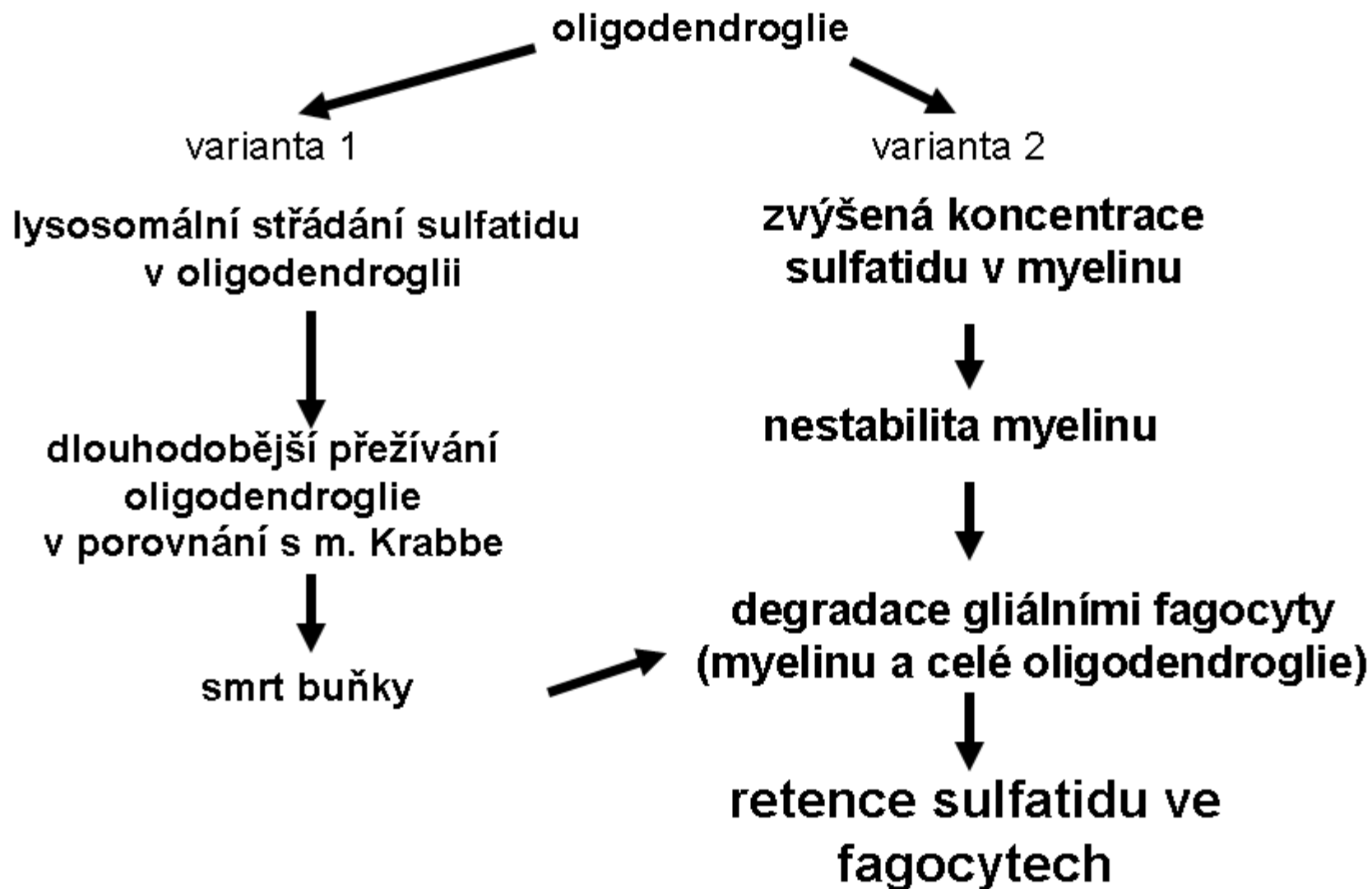
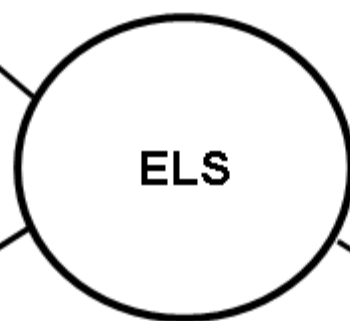


Schéma 14: změny vedoucí k demyelinisaci u metachromatické leukodystrofie

membránové glykoproteiny
(např. LAMP1/2 či LIMP2)
immunohistochemicky
fixovaná i nefixovaná tkáň

v EM přítomnost limitující membrány
pokud není všeobecně známý
lysosomální obsah (např. lipofuscin,
ceroidní membrány), může být
obtížné morfologické odlišení od jiných
struktur (např. sekrečních granul)



solubilní proteiny
imunohistochemicky
(např. katepsin D)
parafinové řezy

průkaz aktivity
lysosomálních enzymů
(kys. fosfatasa, β -
glukuronidasa, β -
galaktosidasa, apod.)
nutné kryostatové řezy

CD68 - detekce makrofágů
(membránový protein fagosomů/fagolysosomů)

Schéma 15: možnosti detekce ELS v buňkách a tkáních (i diagnosticky)

oftalmologie - gangliosidosy, m. Niemann-Pick typ A, mukopolysacharisosy, glykoproteinosy, mukolipidosa IV, neuronální ceroidlipofuscinosy

neurologie - gangliosidosy, m. Krabbe, sulfatidosa, m. Gaucher typ II, neuronální ceroidlipofuscinosy, mukopolysacharisosy, glykoproteinosy, m. Niemann-Pick typ A a C)

psychiatrie - adultní neurolipidosy, typicky sulfatidosa, m. Niemann-Pick typ C)

pneumologie - m. Gaucher, m. Niemann-Pick typ A a B, m. Niemann-Pick C1, typicky však C2

kardiologie - m. Fabry, mukopolysacharidosy, m. Danon

angiologie - m. Fabry, CESD (akcelerace aterosklerosy), mukopolycacharidosy

hepatologie – m. Wolman, CESD, m. Niemann-Pick A, B a typ C – infantilní forma

nefrologie - m. Fabry, metachromatická leukodystrofie, LIMP2 deficit

dermatologie - m. Fabry, fucosidosa, b -manosidosa, polysulfatasový deficit, m. Farber

hematologie - m. Gaucher, m. Niemann-Pick typ A a B, m. Niemann-Pick C

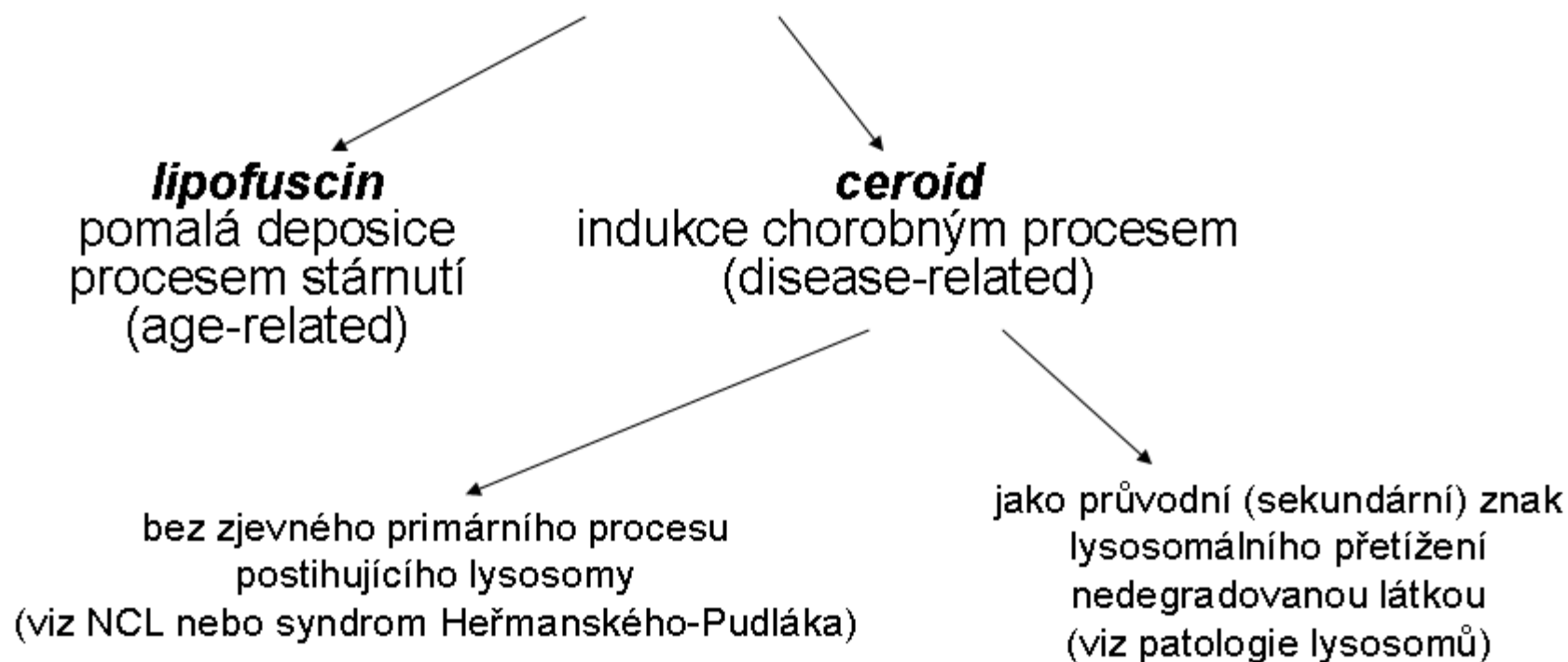
ortopedie/osteologie - mukopolysacharisosy, glykoproteinosy, mukolipidosa III (alelická varianta MLII)

stomatologie - mukopolysacharisosy, glykoproteinosy

ORL – m. Fabry, mukopolysacharisosy

Schéma 16: Klinicky dominantní symptomatologie lysosomálních střeďacích onemocnění ve vztahu k vybraným medicínským oborům

lipopigmenty - dnešní konsensuální dělení



termín *ceroidlipofuscin* přežívá z období pre-biochemického výzkumu neuronálních ceroidlipofuscinosis; spojuje formálně silnou autofluorescenci (jako u lipofuscinu) s výraznou sudanofilí (jako u ceroidu)

Schéma 17 lipopigmenty – základní dělení

Lipopigmenty - tinkční charakteristiky

hlavní:

- **autofluorescence** (detekovatelná i v parafinových řezech)
- **hydrofobicita** (barvení sudanovými barvivy)
- **lysosomální lokalizace** (EM; markery lysosomů)

vedlejší:

- acidoresistence
- pozitivní v barvení - PAS, PAF, Schmorl
- resistance k odbarvení H_2O_2 (permanganátem, zvláště okyseleným je odbarven)
- Masson-Fontana může být pozitivní (ale neredukuje $AgNO_3$)

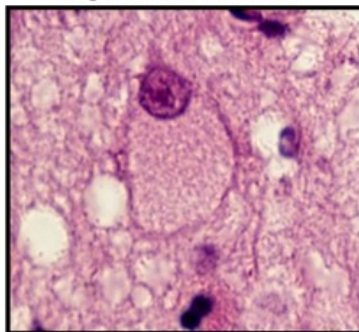
PAF= permanganát aldehydfuchsin

Schéma 18: lipopigmenty – charakteristiky při histologické detekci

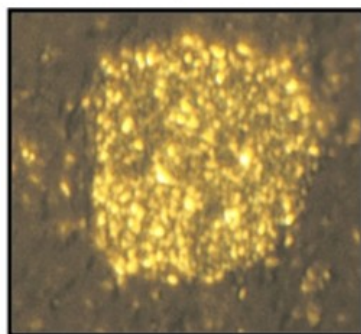
GM2 gangliosidosa

infantilní forma

pěnitý vzhled stře-
dajících neuronů



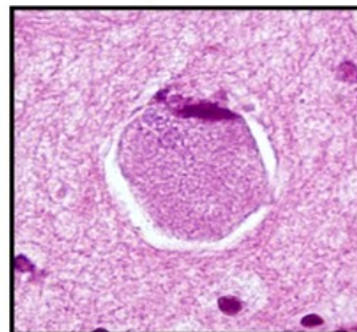
lipid odstraněný odvoděním a
a zalitím do parafinu
ceroid nepřítomen



tekuté krystalky GM2
v neodvodněných řezech
(absence ceroidu)

protrahovaná forma

granulární vzhled
stře-dajících neuronů

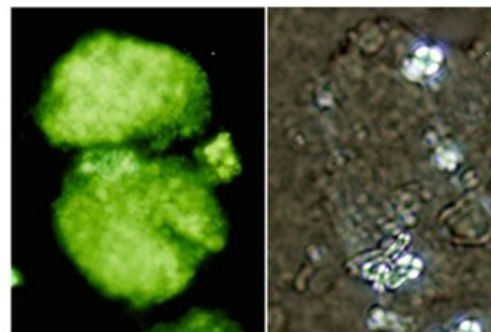


lipid odstraněný odvoděním a
a zalitím do parafinu
ceroid přítomen



**sekundární akumulace
ceroidu**

typická pro protrahované juvenil-
ní a adultní formy



výrazná autofluorescence ceroidu (vlevo)
minimální dvojlom lipidů (vpravo)

Schéma 19: GM2 gangliosidosa - rozvoj lysosomálního stře-
dání - akumulace ceroidu u protrahovaných forem

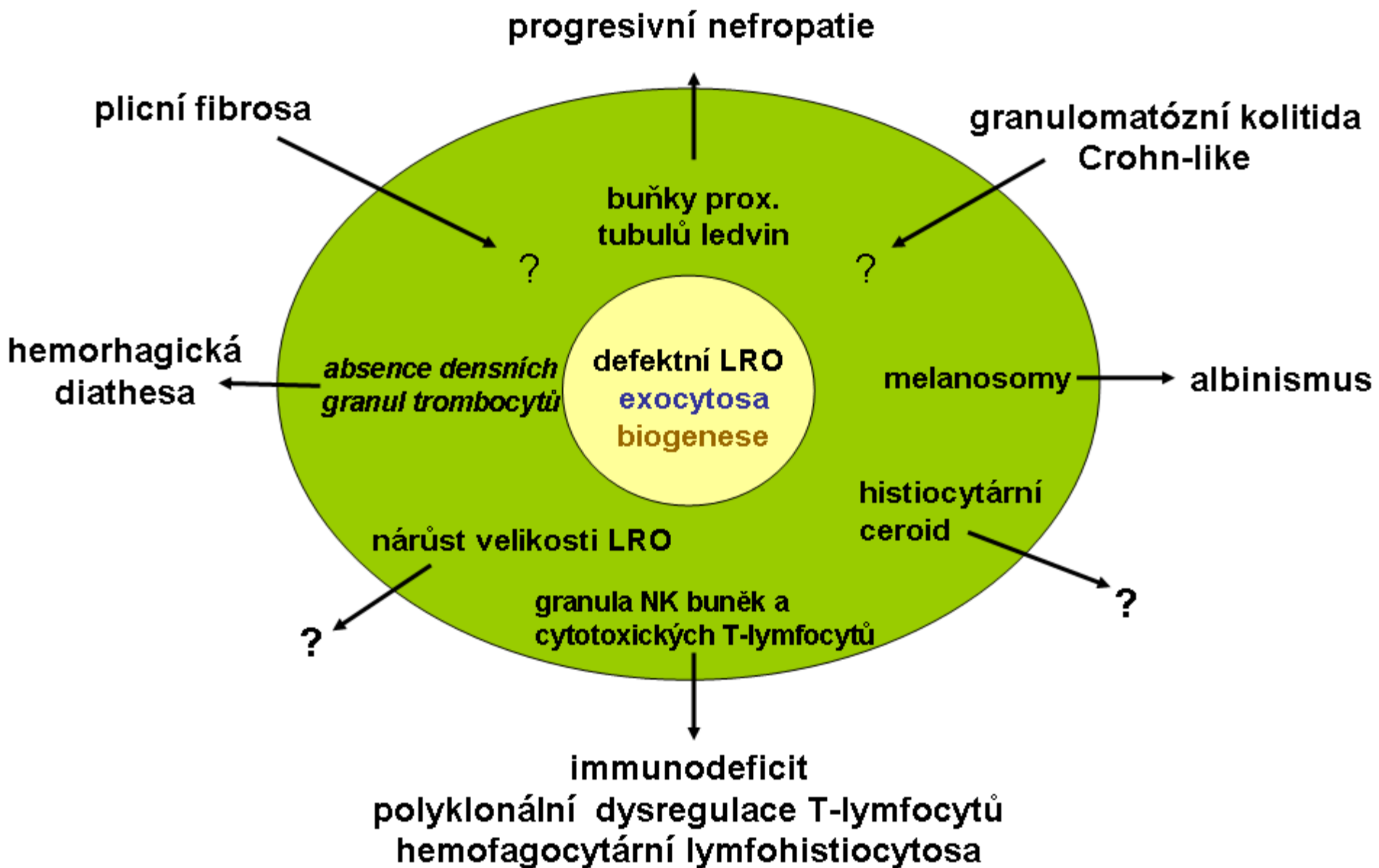


Schéma 20: přehled patologie a patofysiologie LRO